

Analyse en composantes principales

Présenté par : M. HAMMAD

l'ACP est l'une des plus anciennes méthodes factorielles. Elle a été conçue par Karl Pearson (1901) et intégrée à la statistique par Harold Hotelling (1933). Elle est utilisée lorsqu'on observe n individus sur p variables quantitatives X_1, X_2, \dots, X_p , ($p \leq n$) présentant des liaisons multiples que l'on veut analyser. Ces observations sont regroupées dans un tableau (matrice) rectangulaire X ayant p lignes (variables) et n colonnes (individus) :

$$\begin{array}{cccccc}
 & X_1 & X_2 & \cdots & \cdots & X_n \\
 & \downarrow & \downarrow & & & \downarrow \\
 X = & \left(\begin{array}{cccccc}
 x_{11} & x_{12} & \cdots & \cdots & x_{1n} \\
 x_{21} & \ddots & & & x_{2n} \\
 \vdots & & & x_{ij} & \vdots \\
 \vdots & & & \ddots & \vdots \\
 x_{p1} & x_{p2} & \cdots & \cdots & x_{pn}
 \end{array} \right) & \begin{array}{l} \leftarrow X^1 \\ \leftarrow X^2 \\ \vdots \\ \vdots \\ \leftarrow X^p \end{array}
 \end{array}$$

0.1 Principe de l'ACP

Rappelons que l'objectif principal est d'obtenir une représentation fidèle du nuage des individus de \mathbf{IR}^p en le projetant sur un espace de faible dimension. Le choix de l'espace de projection s'effectue selon le critère de l'inertie, i.e. on cherche le sous-espace de dimension k portant l'inertie maximale du nuage.

But : Classer un ensemble I d'individus, $\{\text{individus "proches"}, \text{individus "éloignés"}\}$.
On suppose que I est muni d'une distance d_I .

Définition 0.1.1.

Soit (I, d_I) un espace métrique, et on note (η, E, M) le triplé formé par :
 η : nuage de points de E
 E : espace euclidien
 M : une métrique sur E ,
on dit que (η, E, M) est une image euclidienne de (I, d_I) s'il existe :

$$\begin{aligned} h : (I, d_I) &\rightarrow (E, M) \\ (i, i') &\mapsto h(i, i') = d_I(i, i') = \|h(i) - h(i')\|_M \end{aligned}$$

Définition 0.1.2.

On dit que deux images euclidiennes (η_1, E_1, M_1) et (η_2, E_2, M_2) sont équivalentes, s'il existe une bijection $f : \eta_1 \rightarrow \eta_2$; tel que $\|x_i - x_{i'}\|_{M_1} = \|f(x_i) - f(x_{i'})\|_{M_2}$.

Remarque 0.1.1.

Parmi toutes les images euclidiennes équivalentes de (I, d_I) , la plus simple serait celle pour laquelle la $\dim(E)$ est la plus faible.

Pour l'ACP : étant donnée une image euclidienne (η, E, M) , il s'agit alors de la "simplifier", i.e., trouver une image euclidienne équivalente (η_1, E_1, M_1) tel que : $\dim E_1 < \dim E$.

Exemple 0.1.1.

Soit I l'ensemble des individus d'écrits par trois variables (la taille, le poids et l'âge) on peut observer notre nuage I graphiquement. Pour ce nuage on peut faire un ACP c'est à dire de changer l'image de nuage vers une autre plus claire et on peut réduire la dimension à une autre plus faible à condition de garder les mêmes propriétés.

Remarque 0.1.2.

On générale, impossible d'observer les nuages sur des espaces de dimension supérieure à 3, c'est pour cela on utilise l'ACP.

Les démarches pour simplifier le nuage (η, E, M)

Pour simplifier le nuage (η, E, M) , on se posera les questions suivantes :

1. Quel est le point de E le plus "proche" de η ?
2. Quelle est la droite de E la plus "proche" de η ?
3. Quel est le plan affine de E le plus proche de η ?
4. \vdots
5. Quel est le sous espace affine de E de dimension k le plus "proche" de η ?

Hypothèse 0.1.1.

On suppose que l'espace des individus E est muni d'une métrique M sur l'ensemble de n individus décrit par un ensemble J de p variables quantitatives.

Chaque individu i est muni d'un poids : $p_i > 0$; $\sum_{i=1}^n p_i = 1$.

L'espace des variables F est muni d'une métrique N tel que $N = D_p$ (voir (3.1))
Alors, on obtient un tableau de donnée X avec le schéma de dualité suivant :

$$\begin{cases} V = XD_pX', \\ W = X'MX, \end{cases} \quad D_p(f_i, f_{i'}) = p_i \delta_{ii'} \quad \text{et} \quad \delta_{ii'} = \begin{cases} 1 & i = i' \\ 0 & i \neq i' \end{cases}$$

Remarque 0.1.3.

Nécessité de définir un indice (un critère) qui permet de mesurer la proximité :

- D'un point de E et η .
- D'une droite de E et η .
- D'un sous-espace affine de E et η .

0.2 Inertie et moment d'inertie

0.2.1 Inertie de η par rapport à un point

Définition 0.2.1.

L'inertie de η par rapport à un point a est $I_a = \sum_{i=1}^n p_i \|x_i - a\|_M^2$.

Elle mesure l'approximation de η et a , de plus on a, $I_a = I_g + \|g - a\|$.
Donc, si $a = g$, $I_a = I_g$ est minimale.

Remarque 0.2.1.

g est le point de E le plus "proche" de η au sens de l'inertie : $I_g = \sum_{i=1}^n p_i \|x_i\|_M^2$.

I_g : mesure la dispersion autour du centre de gravité, g et I_g généralisent les notions de moyenne et de variance.

Autre expression de I_g

On a :

$$\begin{aligned} \|x_i\|_M^2 &= M(x_i, x_i) \\ &= x_i' M x_i \quad (\text{scalaire}), \end{aligned}$$

d'où :

$$\begin{aligned} \text{tr}(x_i' M x_i) &= x_i' M x_i \\ &= x_i x_i' M, \end{aligned}$$

l'inertie totale

$$\begin{aligned}
I_g &= \sum_{i=1}^n p_i \|x_i\|_M^2 \\
&= \text{tr}\left(\sum_{i=1}^n p_i x_i x_i'\right) \\
&= \text{tr}(VM), \quad VM : \text{ est un endomorphisme de } E^*.
\end{aligned}$$

0.2.2 Moment d'inertie par rapport à une droite

Soit Δu une droite engendré par un vecteur $u \in E$ normé ($\|u\|_M = 1$), soit Δu^\perp le supplémentaire M -orthogonale de Δu dans E , $E = \Delta u \oplus \Delta u^\perp$. On a $x_i \in E \implies x_i = \alpha_i u + \beta_i v$,

$$\begin{aligned}
I_{\Delta u} &= \sum_{i=1}^n p_i \|x_i - \alpha_i u\|_M^2 \\
&= \sum_{i=1}^n p_i \|\beta_i v\|_M^2. \\
I_{\Delta u^\perp} &= \sum_{i=1}^n p_i \|x_i - \beta_i v\|_M^2 \\
&= \sum_{i=1}^n p_i \|\alpha_i u\|_M^2.
\end{aligned}$$

On sait que $\alpha_i u \in \Delta u$ est la projection sur Δu qui s'écrit : $\alpha_i u = c_i u$ tel que $c_i \in \mathbf{R}$ est la coordonnée de projection de x_i sur la droite Δu :

$$c_i = M(x_i, u),$$

on définit la forme lineaire suivante :

$$\begin{aligned}
v : E &\longrightarrow \mathbf{R} \\
x &\longrightarrow v(x) = M(x, u)
\end{aligned}$$

on note $v = Mu \in E^*$, autrement dit :

$$\begin{aligned}
I_{\Delta u^\perp} &= \sum_{i=1}^n p_i \|\alpha_i u\|_M^2 = \sum_{i=1}^n p_i M(\alpha_i u, \alpha_i u) \\
&= \sum_{i=1}^n p_i M(c_i u, c_i u) \\
&= \sum_{i=1}^n p_i c_i^2 M(u, u),
\end{aligned}$$

or $M(u, u) = \|u\|_M^2 = 1$, donc $I_{\Delta u^\perp} = \sum_{i=1}^n p_i c_i^2$.

Soit C le vecteur qui contient tous les coordonnées de projection de x_i sur la droite Δ_u ,

$$C = \begin{pmatrix} c_1 \\ c_2 \\ \vdots \\ c_n \end{pmatrix} = \begin{pmatrix} M(x_1, u) \\ M(x_2, u) \\ \vdots \\ M(x_n, u) \end{pmatrix} = \begin{pmatrix} x_1 M u \\ x_2 M u \\ \vdots \\ x_n M u \end{pmatrix} \implies C = X' M u.$$

Expression matricielle de l'inertie $I_{\Delta u^\perp}$

Proposition 0.2.1.

$$I_{\Delta u^\perp} = MVM(u, u).$$

Preuve 0.2.1.

$$\begin{aligned} I_{\Delta u^\perp} &= \sum_{i=1}^n p_i c_i^2 &= \|C\|_{D_p}^2 \\ &= D_p(C, C) \\ &= C' D_p C \\ &= (X' v)' D_p (X' v) && \text{car } C = X' M u \text{ et } v = M u \implies C = X' v \\ &= v X D_p X' v \\ &= X D_p X' (v, v) \\ &= V(v, v) && \text{car } V = X D_p X' \\ &= V(M u, M u) && \text{car } v = M u \\ &= MVM(u, u), \end{aligned}$$

$$\implies I_{\Delta u^\perp} = MVM(u, u).$$

Remarque 0.2.2.

On a, $I_{\Delta u} = I_g - I_{\Delta u^\perp}$, par conséquence on obtient : $I_{\Delta u} = \text{Tr}(VM) - MVM(u, u)$.

Remarque 0.2.3.

$$1. \text{ Si } \|u\| \neq 1 \implies I_{\Delta u^\perp} = \frac{MVM(u, u)}{M(u, u)}.$$

$$\begin{aligned} \eta \subset I_{\Delta u^\perp} &\implies I_{\Delta u^\perp} = 0 \implies MVM(u, u) = 0 \implies M(u, VMu) = 0 \\ 2. \text{ Si } &\implies VMu = 0 \\ &\implies u \in \text{Ker}(VM). \end{aligned}$$

La construction du sous-espace vectoriel de $\dim k$ le plus "proche" de η

Soit W est un sous-espace vectoriel de E tel que $W = W_1 \oplus W_2$ M -orthogonal à W^\perp alors,

$$W^\perp = W_1^\perp \oplus W_2^\perp \quad \text{et}$$

$$I_g = I_W + I_{W^\perp} = I_W + I_{W_1^\perp} + I_{W_2^\perp}.$$

Tout sous-espace vectoriel de dimension " $k+1$ ", W_{k+1} tel que $I_{W_{k+1}}$ est minimum contient un espace vectoriel W_k de dimension " k " et tel que I_{W_k} soit minimum.

$$W_{k+1} = W_k + \Delta u,$$

Δu : est une droite de E (un espace vectoriel de dimension 1).

Preuve 0.2.2.

Soit F un sous-espace de dimension k . Comme $\dim(W_{k+1}^\perp) + \dim(F) = p-1$, W_{k+1}^\perp et F ont au moins une direction commune.

Soit $\Delta u_{k+1} \subset W_{k+1}^\perp \cap F$, ($u_{k+1} \neq 0$), On peut alors écrire $\tilde{F} = F \oplus \Delta u_{k+1}$, où F est le supplémentaire M -orthogonal de Δu_{k+1} dans \tilde{F} .

\tilde{F} est de dimension $k+1$, et par définition de W_{k+1} on a donc $I_{\tilde{F}} \geq I_{W_{k+1}}$. Par ailleurs, par définition, on a aussi $I_{\Delta u_{k+1}} \geq I_{\Delta u}$. Ainsi,

$$I_F = I_{\tilde{F}} - I_{\Delta u_{k+1}} \geq I_{W_{k+1}} - I_{\Delta u} = I_{W_k}$$

Remarque 0.2.4.

l'idée du théorème (0.2.2), nous permet de déduire qu'à partir d'un sous espace W_k de dimension " k ". (tel que I_{W_k} est minimum) de construire un sous espace vectoriel W_{k+1} de dimension " $k+1$ " de $I_{W_{k+1}}$ minimale est l'augmentant d'une droite.

Remarque 0.2.5.

On peut déduire que, si l'espace W_k^\perp est d'inertie maximale alors, W_{k+1}^\perp est aussi reste d'inertie maximale,

$$W_{k+1}^\perp = W_k^\perp \oplus \Delta u_{k+1}.$$

Preuve 0.2.3.

Soit F un sous-espace de dimension $k+1$. Comme $\dim(W_k^\perp) + \dim(F) = p+1$, W_k^\perp et F ont au moins une direction commune. Soit $\Delta u \subset W_k^\perp \cap F$, ($u \neq 0$). On peut alors écrire $F = \tilde{F} \oplus \Delta u$, où \tilde{F} est le supplémentaire M -orthogonal de Δu dans F . \tilde{F} est de dimension k , et par définition de W_k^\perp on a donc $I_{\tilde{F}} \leq I_{W_k^\perp}$. Par ailleurs, par définition de u_{k+1} , on a aussi $I_{\Delta u} \leq I_{\Delta u_{k+1}}$. Ainsi,

$$I_F = I_{\tilde{F}} + I_{\Delta u} \leq I_{W_k^\perp} + I_{\Delta u_{k+1}} = I_{W_{k+1}^\perp}.$$

Calcul des axes principaux

Commençons par trouver l'axe principal Δu si u est M -normé on a vu que $I_{\Delta u^\perp} = MVM(u, u) = u'MVMu$, si non, en notant $v = \frac{u}{\|u\|_M}$,

$$I_{\Delta v^\perp} = I_{\Delta u^\perp} = v'MVMv = \frac{u'MVMu}{\|u\|_M^2} = \frac{u'MVMu}{u'Mu}.$$

On veut maximiser cette quantité en $u \in \mathbf{R}^p$. Pour cela, on commence par chercher les points critiques de la fonction considérée, i.e., les points où le gradient est nul :

$$\nabla_u \left(\frac{u'MVMu}{u'Mu} \right) = \frac{2MVMu}{u'Mu} - \frac{(u'MVMu)(2Mu)}{(u'Mu)^2}$$

u est donc solution de

$$MVMu = \frac{(u'MVMu)(Mu)}{(u'Mu)} = I_{\Delta u^\perp}Mu \iff VMu = I_{\Delta u^\perp}u,$$

puisque M est inversible. Autrement dit, u est vecteur propre de la matrice VM (VM est endomorphisme voir (remarque 3.2.2)) associé à la valeur propre $I_{\Delta u^\perp}$. Pour maximiser $I_{\Delta u^\perp}$ il faut donc choisir pour le vecteur propre u associé à la plus grande valeur propre λ de la matrice VM . On a alors $I_{\Delta u^\perp} = \lambda$.

Remarque 0.2.6.

Ce résultat se généralise aux autres axes principaux.

Remarque 0.2.7.

$$\begin{aligned} I_{\Delta u^\perp} &= MVM(u, u) \\ &= M(u, VMu) \\ &= M(u, \lambda u) \\ &= \lambda M(u, u) \\ &= \lambda. \end{aligned}$$

u est le vecteur propre associé à la plus grande valeur propre de VM on ce cas la on dit que le minimum est atteint.

Conclusion 0.2.1.

si λ est la plus grande valeur propre alors la majorité des individus sont très proches de la droite Δu .

Propriété 0.2.1.

1. VM est M symétrique $\implies (MVM)' = MVM$
2. tout les valeurs propres de MV sont réels et positives.
3. si k est le nombre de valeurs propres distinctes alors $E = E_1 \oplus E_2 \oplus \dots \oplus E_k$ où E_i est le sous espace propre associé à λ_i .
Si $i \neq j$ $E_i \perp_M E_j$, $E_i \cap E_j = \{0\}$.

Conclusion 0.2.2.

On peut construire une nouvelle base $\{u_i; i = 1, \dots, p\}$ de E formée uniquement de vecteurs propres u_i de VM .

0.3 Axes et plans principaux d'une ACP

premier axe principal

Soit $\{u_i; i = 1, \dots, p\}$ la base de E formée de vecteurs propres de VM , soit $u \in E$,
$$u = \sum_{i=1}^p \alpha_i u_i, \quad \alpha_i \in \mathbb{R}.$$

Définition 0.3.1.

Le 1^{er} axe principal est l'axe Δu engendré par le vecteur normé u , tel que $I_{\Delta u}$ soit minimale ou bien $I_{\Delta u^\perp}$ est maximal, i.e.

$$\begin{cases} I_{\Delta u} \text{ est maximale} \\ \text{avec } M(u, u) = 1. \end{cases}$$

$$\begin{aligned} M(u, u) &= M\left(\sum_{i=1}^p \alpha_i u_i, \sum_{j=1}^p \alpha_j u_j\right), \text{ car } u = \sum_{i=1}^p \alpha_i u_i \text{ tel que } \alpha_i \in \mathbb{R} \\ &= \sum_{j,i}^p \alpha_i \alpha_j M(u_i, u_j) \\ &= \sum_{i=1}^p \alpha_i^2 M(u_i, u_i) \text{ car si } i \neq j, M(u_i, u_j) = 0 \\ &= \sum_{i=1}^p \alpha_i^2 = 1. \end{aligned}$$

Calcul de $I_{\Delta u^\perp}$

$$\begin{aligned} I_{\Delta u^\perp} &= MVM(u, u) \\ &= M(u, VMu) \\ &= M\left(\sum_{i=1}^p \alpha_i u_i, \sum_{j=1}^p \alpha_j \lambda_j u_j\right), \text{ car } VMu = VM\left(\sum_{j=1}^p \alpha_j u_j\right) = \left(\sum_{j=1}^p \alpha_j VMu_j\right) = \sum_{j=1}^p \alpha_j \lambda_j u_j \\ &= \sum_{i,j}^p \alpha_i \alpha_j \lambda_j M(u_i, u_j) \\ &= \sum_{i=1}^p \alpha_i^2 \lambda_i M(u_i, u_i) \text{ car si } i \neq j, M(u_i, u_j) = 0 \\ &= \sum_{i=1}^p \alpha_i^2 \lambda_i. \end{aligned}$$

Remarque 0.3.1.

Pour $\lambda_1 \geq \lambda_2 \geq \dots \geq \lambda_p$, on veut maximiser $I_{\Delta u_1^\perp}$ sous la contrainte $\sum_{i=1}^p \alpha_i^2 = 1$,

c'est-à-dire maximiser $\sum_{i=1}^p \lambda_i \alpha_i^2$ alors :

$$\sum_{i=1}^p \lambda_i \alpha_i^2 \leq \sum_{i=1}^p \lambda_1 \alpha_i^2 = \lambda_1 \sum_{i=1}^p \alpha_i^2 = \lambda_1.$$

La solution est :

$$\alpha_1 = 1, \alpha_2 = \alpha_3 = \dots = \alpha_p = 0.$$

Le 1^{er} axe principal coïncide avec l'axe engendré par le vecteur propre associé à la plus grande valeur propre λ_1 .

Au premier axe principal Δu_1 on associe :

Dans E^* :

"le premier facteur" principal $v_1 = Mu_1$

$$\begin{aligned} v_1 : E &\longrightarrow R \\ x_i &\longrightarrow v_1(x_i) = M(x_i, u_1) \end{aligned}$$

$M(x_i, u_1) = C_{1i}$: coordonnée de projection de x_i sur Δu_1 (i^{eme} individu sur 1^{er} axe)

Dans F :
 $C^1 = X'v_1$

$$C^1 = X'Mu_1 = \begin{pmatrix} c_{11} \\ c_{12} \\ \vdots \\ c_{1n} \end{pmatrix}$$

C est la 1^{ère} composante principale (est une variable qui contient les coordonnées de "n" individus).

$$\begin{aligned} \text{Var}(C^1) &= \|C^1\|_{Dp}^2 = \lambda_1 \\ &= MVM(u_1, u_1) \\ &= I_{\Delta u_1^\perp}. \end{aligned}$$

Part d'inertie expliquée par Δu_1

$$I_{\Delta u_1} = \text{Tr}(VM) - \lambda_1 \text{ avec } I_{\Delta u_1^\perp} = MVM(u_1, u_1) = \lambda_1,$$

la Part d'inertie expliquée par Δu_1 est le rapport entre l'inertie du sous espace supplémentaire et l'inertie totale : $\frac{\lambda_1}{\text{Tr}(VM)}$.

cas particulier : Si $I_{\Delta u_1} = 0$, i.e., $\text{tr}(VM) = \sum_{i=1}^p \lambda_i = \lambda_1 \implies \eta \subset \Delta u_1$ et $\frac{\lambda_1}{\text{Tr}(VM)} = 1$.

0.3.1 Plan principal

Définition 0.3.2.

C'est le sous-espace vectoriel de dimension 2 et de moment d'inertie minimum, il est engendré par :

- Un premier axe principal Δu_1
- Un deuxième axe Δu M-ortogonal à Δu_1 et tel que $I_{\Delta u}$ soit minimale ($I_{\Delta u_1^\perp}$ soit maximale).

Checher u tel que :

$$\left\{ \begin{array}{l} \Delta u \perp \Delta u_1 \\ \text{et} \\ I_{\Delta u_1^\perp} \text{ est Maximale} \end{array} \right.$$

- On a

$$M(u, u_1) = M\left(\sum_{i=1}^p \alpha_i u_i, u_1\right)$$

$$\begin{aligned} M(u, u) = 1 &\iff \sum_{i=1}^p \alpha_i^2 = 1 \quad \text{et} \\ &= \sum_{i=1}^p \alpha_i M(u_i, u_1) \\ &= \alpha_1. \end{aligned}$$

$M(u_i, u_1) = 0$ pour $i \neq 1$, $M(u, u_1) = 0 \iff \alpha_1 = 0$.

Maximiser $I_{\Delta u_1^\perp}$ sous la contrainte $\sum_{i=2}^p \alpha_i^2 = 1$,

C'est-à-dire maximiser $\sum_{i=2}^p \lambda_i \alpha_i^2$ sous $\sum_{i=2}^p \alpha_i^2 = 1$ comme : $\lambda_i \leq \lambda_2 \forall i = \overline{2, p}$:

$$\sum_{i=2}^p \lambda_i \alpha_i^2 \leq \sum_{i=2}^p \lambda_i \alpha_i^2 = \lambda_2 \sum_{i=2}^p \alpha_i^2 = \lambda_2.$$

La solution est :

Le maximum est λ_2 , il est atteint si $\alpha_2 = 1$, et $\alpha_3 = \dots = \alpha_p = 0$.

Le 2^{ème} axe principal coïncide avec l'axe engendré par le vecteur propre associé à la deuxième plus grande valeur propre λ_2 de VM .

On associe à Δu_2 :

- **Dans** E^* : "le premier facteur" principe $v_2 : Mu_2$

$$v_2 : E \longrightarrow \mathbf{IR}$$

$$x_i \longrightarrow v_2(x_i) = M(x_i, u_2)$$

$M(x_i, u_2) = C_{2i}$: la coordonnée de projection de x_i sur Δu_2 ($i^{\text{ème}}$ individu sur 2^{ème} axe)

-**Dans** F :

$$C^2 = X'v_2$$

$$C^2 = X'Mu_2 = \begin{pmatrix} c_{21} \\ c_{22} \\ \vdots \\ c_{2n} \end{pmatrix}$$

C'est le 2^{ème} composante principale (est une variable qui contient les coordonnées de "n" individu).

$$\begin{aligned} \text{Var}(C^2) &= \|C^2\|_{Dp}^2 = \lambda_2 \\ &= MVM(u_2, u_2) \\ &= I_{\Delta u_2}^1. \end{aligned}$$

Part d'inertie du plans principal

On note \mathcal{P} le plans principal tel que : $\mathcal{P} = \Delta u_1 \oplus \Delta u_2$

$$I_{\mathcal{P}} = I_g - I_{\mathcal{P}^\perp}$$

$$= I_g - (I_{\Delta u_1^\perp} + I_{\Delta u_2^\perp})$$

$$= \text{Tr}(VM) - (\lambda_1 + \lambda_2).$$

La part d'inertie expliquée par le plans principal est :

$$\frac{\lambda_1 + \lambda_2}{\text{Tr}(VM)}.$$

Généralisation

Le sous-espace principal de $\dim k$

Définition 0.3.3.

Le sous-espace principal de dimension k est engendré par les k premiers axes principaux : $\Delta u_1, \Delta u_2, \dots, \Delta u_k$ engendrés par les vecteurs propres associées aux k plus grandes valeurs propres $\lambda_1 \geq \lambda_2 \geq \dots \geq \lambda_k$ de VM .

Au j^{eme} axe principal Δu_j est associée :

- **Dans E^*** : le j^{eme} facteur principal $v_j = Mu_j$ tel que $C_{ji} = M(x_i, u_j) = \langle x_i, u_j \rangle_M$.

- **Dans F** : la j^{eme} composante principale $c^j = X'v_j = X'Mu_j = \begin{pmatrix} c_{j1} \\ c_{j2} \\ \vdots \\ c_{jn} \end{pmatrix}$

$$I_{\Delta u_j^\perp} = MVM(u_j, u_j) = \lambda_j.$$

La part d'inertie expliquée par le sous espace principal de dimension k est :

$$\frac{\sum_{j=1}^k \lambda_j}{\sum_{j=1}^p \lambda_j} = \sum_{j=1}^k \frac{\lambda_j}{\text{Tr}(VM)} = \sum_{j=1}^k \text{part}(\Delta u_j).$$

Remarque 0.3.2.

$$E_k = \Delta u_1 \oplus \Delta u_2 \oplus \dots \oplus \Delta u_k$$
$$I_{E_k} = I_g - I_{E_k^\perp} = \text{Tr}(VM) - (\lambda_1 + \lambda_2 + \dots + \lambda_k), i.e.,$$

$$I_{E_k} = 0 \implies \eta \subset E_k \implies \frac{\sum_{j=1}^k \lambda_j}{\text{Tr}(VM)} = 1.$$

0.3.2 Représentation graphique des individus

On doit calculer les coordonnées de projection des individus sur le plan principal, on doit donc connaître les coordonnées de projection de x_j sur Δu_1 et Δu_2 qui sont contenues dans C^1 et C^2

$$C^1 = X'Mu_1 = \begin{pmatrix} c_{11} \\ c_{12} \\ \vdots \\ c_{1i} \\ \vdots \\ c_{1n} \end{pmatrix} \begin{matrix} \longleftarrow (c_{11}, c_{21}) \longrightarrow \\ \longleftarrow (c_{12}, c_{22}) \longrightarrow \\ \\ \longleftarrow (c_{1i}, c_{2i}) \longrightarrow \\ \\ \longleftarrow (c_{1n}, c_{2n}) \longrightarrow \end{matrix} \begin{pmatrix} c_{21} \\ c_{22} \\ \vdots \\ c_{2i} \\ \vdots \\ c_{2n} \end{pmatrix} = X'Mu_2 = C^2$$

tel que $\|u_1\| = \|u_2\| = 1$

0.3.3 Représentation des variables

Définition 0.3.4.

On s'intéresse dans cette section au nuage \mathcal{V} des variables centrées qui sont des éléments de l'espace \mathbf{R}^n . Pour obtenir de bonnes représentations plane de ce nuage de points, on peut adopter la même démarche que pour le nuage des individus, et faire une ACP dans l'espace des variables. L'objectif est de trouver les sous-espaces principaux F_1, F_2, \dots , etc de \mathbf{R}^n qui conservent au mieux l'information liée à l'inertie contenue dans le nuage des variables \mathcal{V} . On calcul :

1. Le tableau transposé X' de X .
2. la Matrice des poids D_p
3. La Matrice de variance covarianse $W = X'MX$.
4. les valeurs propres de WD_p .

On a : $VMu_i = XD_pX'Mu_i = \lambda_i u_i$. En multipliant cette identité par $X'M$, et en utilisant l'identité $c^i = X'Mu_i$.

On obtient :

$$X'MXD_pX'Mu_i = X'M\lambda_i u_i \iff WD_p c^i = \lambda_i c^i,$$

alors les composante principal c^i sont les vecteurs propres de WD_p associée à $\lambda_1, \lambda_2, \dots, \lambda_p$

5. WD_p est un opérateur lineaire de F .
 6. soit $\left\{ \frac{c^i}{\|c^i\|_{D_p}} / i = 1, \dots, p \right\}$ une base D_p -orthonormée de vecteur propres de WD_p qui sont egales $\left\{ \frac{c^i}{\sqrt{\lambda_i}} / i = 1, \dots, p \right\}$ car $\|c^i\|_{D_p} = \lambda_i$ sachants que $\lambda_1 \geq \lambda_2 \geq \dots \geq \lambda_p$
-

(a) on définit $d_i = \frac{c^i}{\sqrt{\lambda_i}}$ et Δd_i le i^{eme} axe principe tel que

$$I_{\Delta d_i^\perp} = \|c_i\|_M^2 = \sum_{j=1}^p c_{ji}^2 = M(c_i, c_i) = D_p W D_p(d_i, d_i) = \lambda_i$$

(b) le facteur principal $w_i = D_p d_i$ tel que

$$C_{ji} = D_p(x^j, d_i),$$

(c) les composantes principales

$$c_i = X w_i = X D_p d_i = D_p \left(x^j, \frac{c^i}{\sqrt{\lambda_i}} \right) = \frac{D_p(x^j, c^i)}{\|c^i\|_{D_p}}$$

(d) part d'inertie expliquée par le sous espace F_k

$$\sum_{j=1}^k \frac{\lambda_j}{\text{Tr}(W D_p)} = \frac{\sum_{j=1}^k \lambda_j}{\text{Tr}(W D_p)}$$

Cas particulier représentation des variables dans \mathbb{R}^2

On doit calculer les coordonnées C_1, C_2 de projection des variables x^1, x^2, \dots, x^n sur le plan principal $\Delta c^1, \Delta c^2$ par :

$$C_1 = \frac{D_p(x^j, C^1)}{\|C^1\|_{D_p}}, \quad C_2 = \frac{D_p(x^j, C^2)}{\|C^2\|_{D_p}}.$$

0.3.4 Représentation conjointe

Il s'agit de représenter les individus sur Δu_1 et Δu_2 pour représenter les variables sur même plans, on doit calculer les coordonnées de projection M -orthogonal des variables sur Δu_1 et Δu_2 par :

$$\beta_{j1} = M(e_j, u_1), \beta_{j2} = M(e_j, u_2).$$

La qualité de représentation des individus

Dans une carte des individus, on ne peut tirer de conclusions sur les individus (regroupement, individus exceptionnels, etc...) que si ces individus sont bien représentés dans le plan principal considéré.

Définition 0.3.5.

La qualité de représentation de l'individu i sur le plans principal est mesurée par le cosinus carré de l'angle que fait x_i avec sa projection α_i sur \mathcal{P} tel que $\mathcal{P} = \Delta u_1 \oplus \Delta u_2$:

$$\cos^2(\alpha) = \frac{\|\alpha_i\|_M}{\|x_i\|_M},$$

on sait que $\alpha_i = c_{1i}u_1 + c_{2i}u_2$ car $\alpha_i \in \mathcal{P}$ alors

$\|\alpha_i\|_M^2 = \|c_{1i}u_1\|_M^2 + \|c_{2i}u_2\|_M^2 = \|c_{1i}\|_M^2 + \|c_{2i}\|_M^2$, $\|c_{ji}\|_M^2 = c_{ji}^2$ car c_{ji} est costante, et par suit :

$$\cos^2(\alpha) = \frac{c_{1i}^2 + c_{2i}^2}{\|x_i\|_M^2}.$$

Remarque 0.3.3.

- Si $\cos^2(\alpha)$ est proche de 1 il est donc bien représenté sur le plans car il est un peu proche de \mathcal{P} .*
- Si $\cos^2(\alpha)$ est proche de 0 il est donc mai représenté sur le plans car il est un peu proche de \mathcal{P}^\perp .*

Contribution des points au facteur(CPF)

On a :

$$\begin{aligned} I_{\Delta u_j^\perp} = \lambda_j &= \|C^j\|_{D_p}^2 = D_p(C^j, C^j) \\ &= \sum_{i=1}^n p_i c_{ji}^2, \end{aligned}$$

alors le CPF est $\frac{p_i c_{ji}^2}{\lambda_j} \leq 1$,

On peut conclure que c'est le CPF est faible donc les points sont très proche de l'origine si non ils sont éloignées.

Contribution des points à l'inertie totale(INR)

$$INR = \frac{p_i \|x_i\|_M^2}{I_g} \leq 1,$$

comme le CPF si l'INR est faible les points sont très proches de l'origine si non ils sont éloignées.

Tableau récapitulatif

	<i>Individus</i>	<i>Variables</i>
<i>Espace vectoriel</i>	\mathbf{R}^p	\mathbf{R}^n
<i>Tableau des données</i>	$X'(n, p)$	$X(p, n)$
<i>Matrice des poids</i>	$D_p = \text{diag}(p_1, p_2, \dots, p_n)$	M
<i>Métrique</i>	M	D_p
<i>Matrice à diagonaliser</i>	$VM = XD_p X' M$	$WD_p = X' M X D_p$
<i>Valeurs propres non nulles</i>	$\lambda_1 \geq \lambda_2 \geq \dots \geq \lambda_p$	$\lambda_1 \geq \lambda_2 \geq \dots \geq \lambda_p$
<i>Axes principaux</i>	u_1, u_2, \dots, u_p $\begin{cases} XD_p X' M u_j = \lambda_j u_j \\ \langle u_j, u_i \rangle_M = \delta_{ji} \end{cases}$	d_1, d_2, \dots, d_p $\begin{cases} X' M X D_p d_i = \lambda_i d_i \\ \langle d_j, d_i \rangle_{D_p} = \delta_{ji} \end{cases}$
<i>Composantes principales</i>	$c^j = X' M u_j$ $\ c^j\ _D^2 = \text{Var}(c^j) = \lambda_j$	$c_i = X D_p d_i$
<i>Facteurs principaux</i>	$d_1, d_2, \dots, d_p; d_j = \frac{c^j}{\sqrt{\lambda_j}}$	u_1, u_2, \dots, u_p

0.4 Cas particulier : ACP normée, Cercle des corrélations

Exemple préliminaire :

On considère n individu sur les quels on a mesuré deux variable x^1 et x^2 telque :
 x^1 : poids en Kg
 x^2 : taille en M,

la matrice des variance covariance est donnée par :

$$V = \begin{pmatrix} 4 & 2 \\ 2 & 3 \end{pmatrix}, \text{ si } M = I_2, \quad \Delta e_1, \Delta e_2 \text{ telque } e_1 = \begin{pmatrix} 1 \\ 0 \end{pmatrix}, e_2 = \begin{pmatrix} 0 \\ 1 \end{pmatrix}.$$

$$\begin{cases} I_{\Delta e_1^\perp} = V(e_1, e_2) = 4 \\ I_{\Delta e_2^\perp} = V(e_2, e_1) = 3 \end{cases} \implies I_g = \text{Tr}(VM) = 7.$$

Part d'inerté expliquée par Δe_1 est : $\frac{4}{7}$.

Part d'inerté expliquée par Δe_2 est : $\frac{3}{7}$.

Remarque 0.4.1.

Les deux axes sont d'égale importance.

Exprimons maintenant, le poids en Hg, la matrice V est :

$$V = \begin{pmatrix} 400 & 20 \\ 20 & 3 \end{pmatrix}.$$

$$\begin{cases} I_{\Delta e_1^\perp} = V(e_1, e_2) = 400 \\ I_{\Delta e_2^\perp} = V(e_2, e_3) = 3 \end{cases} \quad I_g = \text{tr}(VM) = 403.$$

et par suit :

Part d'inerté expliquée par Δe_1 est : $\frac{400}{403}$.

Part d'inerté expliquée par Δe_2 est : $\frac{3}{403}$.

Remarque 0.4.2.

Le deuxième axe peut être négligeable.

Conclusion 0.4.1.

Si $M = I_p$ les résultat dépendent des unités de mesure des variables.

On remarque que les unités de mesures ont une influence sur la représentation graphique d'ACP dans ce cas là on vas entamer l'ACP normée.

Le choix de la métrique M est toujours délicat :seul l'utilisateur peut définir correctement la notion de distance entre individus.

Prendre $M = I_p$ revient à travailler sur la matrice V des variances-covariaances il n'y a pas alors de distinction, entre axes principaux et facteurs principaux. Cependant, les résultats obtenus ne sont pas invariants si l'on change linéairement l'unité de mesure des variables. Les covariances sont multipliées par un facteur K , la variance par un facteur K^2 si l'on choisit une unité de mesure K fois plus petite pour une variable.

Le choix de $M = D_{1/\sigma^2}$ est le plus communément fait et a pour conséquence de rendre les distances entre individus invariantes par transformation linéaire séparée de chaque variable et de s'affranchir des unités de mesure ce qui est particulièrement intéressant lorsque les variables sont hétérogènes.

On sait que l'usage de cette métrique à réduit les variables par l'écart-type.

En partique on travaillera donc sur le tableau centré-réduit Z associé à X et on utilisera la métrique $M = I_p$.

Comme la matrice des données est centrée et réduite est la matrice de corrélation R , les facteur principaux seront donc les vecteurs propres successifs de R rangés selon l'ordre décroissant des valeur propres. $Ru = \lambda u$ avec $\|u\|^2 = 1$.

La première composante principale C (et les autres sous la contrainte d'orthogonalité) est la combinaison linéaire des variables centrées et réduites ayant une variance maximale $C = Z'u$.

Aperçu sur le schéma de dualité

Remarque 0.4.3.

Faire l'ACP de $(X, D_{1/\sigma^2}, V)$ est équivalence à faire l'ACP de (Z, I_p, R) l'ACP normée avec $M = D_{1/\sigma^2}$, $Z = D_{1/\sigma} \cdot X$

$$\|z_i - z'_i\|_{I_p}^2 = \|x_i - x'_i\|_{D_{1/\sigma^2}}^2 I_p(z_i, z'_i) = D_{1/\sigma^2}(x_i, x'_i).$$

Preuve 0.4.1.

$$\begin{aligned}
D_{1/\sigma^2}(x_i, x'_i) &= x'_i \cdot D_{1/\sigma^2} \cdot x'_i \\
&= x'_i \cdot D_{1/\sigma} \cdot Id_p \cdot D_{1/\sigma} \cdot x'_i \\
&= z'_i \cdot Id_p \cdot z'_i = Id_p(z_i, z'_i).
\end{aligned}$$

Remarque 0.4.4.

On sait que :

$$\begin{aligned}
VMu_j = \lambda_j u_j &\implies VD_{1/\sigma^2}u_j = \lambda_j u_j, M = D_{1/\sigma^2}. \\
&\implies VD_{1/\sigma}D_{1/\sigma}.u_j = \lambda_j u_j. \\
&\implies D_{1/\sigma}VD_{1/\sigma}D_{1/\sigma}.u_j = \lambda_j D_{1/\sigma}u_j. \\
&\implies RD_{1/\sigma}.u_j = \lambda_j D_{1/\sigma}u_j, R = D_{1/\sigma}VD_{1/\sigma}.
\end{aligned}$$

Donc $\lfloor \rfloor = D_{1/\sigma}.u_j$ est le vecteur propre de R associé à λ_j .

Conclusion 0.4.2.

Si $M = D_{1/\sigma}$ les résultat ne dépendent pas des unités de mesuré des variables.

Représentation des variables

On sait que :

$$C_k = \frac{D_p(x^j, C^k)}{\|C^k\|_{D_p}} = \frac{D_p(x^j, C^k)}{\sqrt{\lambda_k}} = r(x^j, c^k) - 1 \leq \frac{D_p(x^j, C^k)}{\sqrt{\lambda_k}} \leq 1,$$

toutes les variables sont située sur la sphère unité δ_n de l'espace des variables \mathbf{R}^n . L'intersection de cette sphère avec le premier plan factoriel est donc un cercle unité appelé cercle des corrélations.

Remarque 0.4.5.

$$\begin{aligned}
r(x^j, C^k) &= \frac{D_p(x^j, C^k)}{\sqrt{\lambda_k}} \\
&= \frac{[XD_p C^k]_j}{\sqrt{\lambda_k}} \\
&= \frac{[XD_p X' M u_k]_j}{\sqrt{\lambda_k}} \\
&= \frac{[VM u_k]_j}{\sqrt{\lambda_k}} \\
&= \frac{[\lambda_k u_k]_j}{\sqrt{\lambda_k}}, \\
&= \sqrt{\lambda_k} [u_k]_j,
\end{aligned}$$

$\sqrt{\lambda_k} [u_k]_j$: contient les coefficient de corrélation linéaire de x^j avec la k^{eme} composante

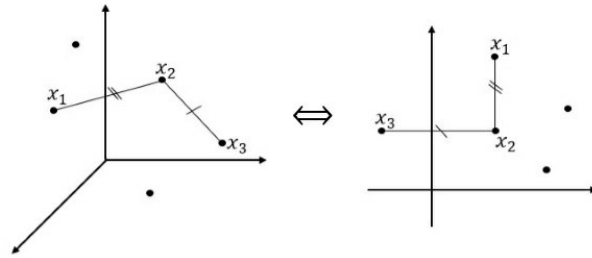


FIGURE 1 – Image euclidienne-équivalente.

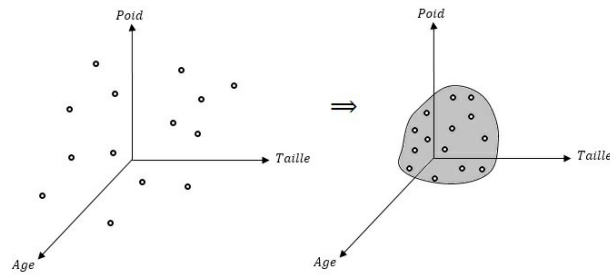


FIGURE 2 – ACP-Dimension faible.

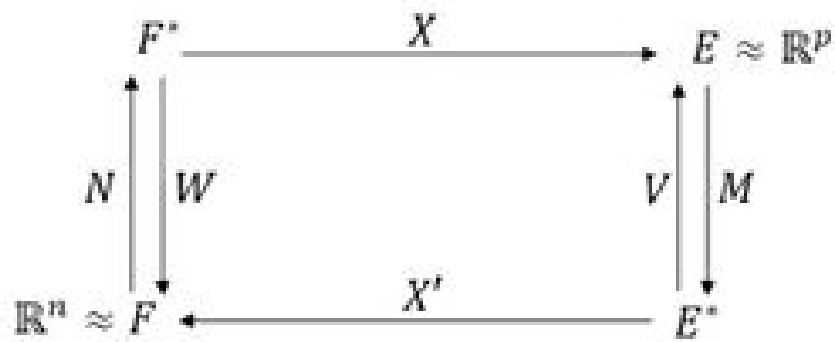


FIGURE 3 – Schéma de dualité.

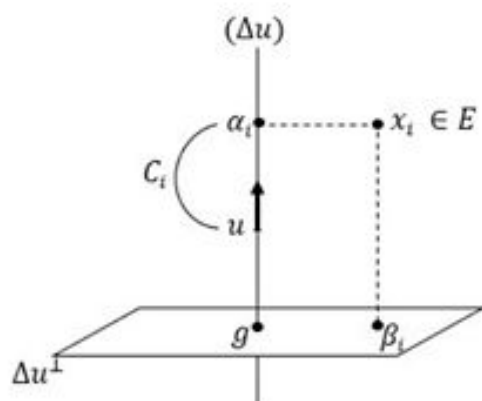


FIGURE 4 – Proximité par rapport à une droite.

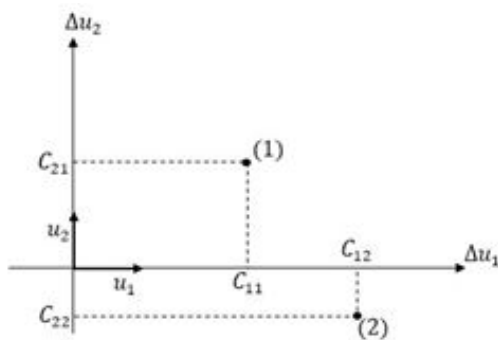


FIGURE 5 – Représentation des individus.

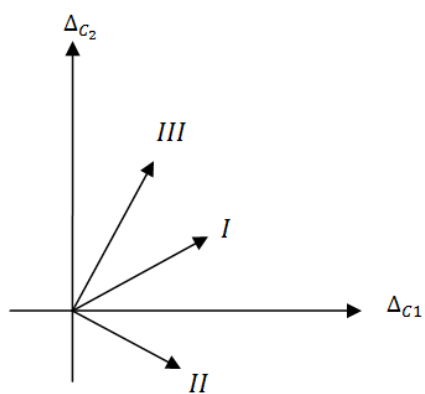


FIGURE 6 – Représentation des variables.

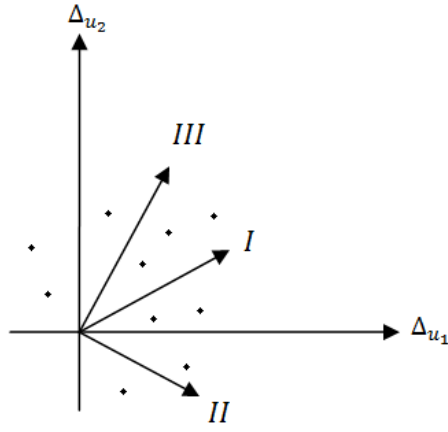


FIGURE 7 – Représentation conjointe.

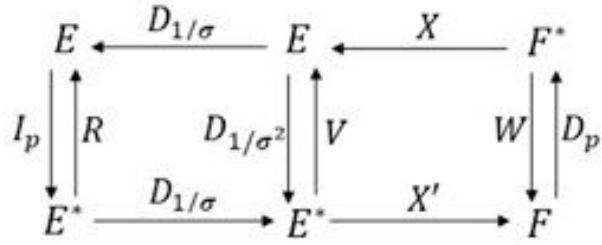


FIGURE 8 – Schéma de dualité ACP normé.

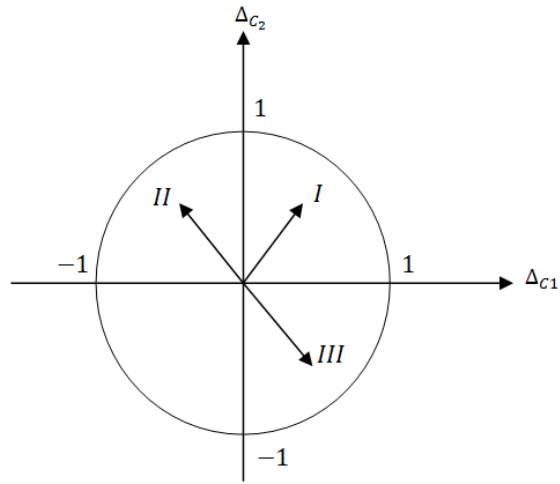


FIGURE 9 – Cercle de corrélation.